

Рис. 5.

изменяют характер взаимодействия структуры потока с поверхностью горения. Так, например, при значительно менее интенсивных вдувах газа с поверхности образца также наблюдается неподвижная волновая структура. Об этом свидетельствует фотография поверхности образца полиметилметакрилата на рис. 5 ( $\lambda=0,2$ ,  $p_0=4$  МПа). Этот факт усиливает сходство процесса образования волн на поверхности материала, подверженного эрозии в высокотемпературном газовом потоке с эрозией песчаного дна в потоке жидкости [8].

Дальнейшее направление экспериментальных исследований можно видеть в нахождении связей между параметрами структуры поверхности горения и параметрами турбулентного газового потока.

Поступила в редакцию  
18/I 1977

#### ЛИТЕРАТУРА

1. Р. Н. Уимпресс. Внутренняя баллистика пороховых ракет. М., ИЛ, 1952.
2. В. Н. Вилюнов, А. А. Дворяшин и др. ФГВ, 1972, 8, 4.
3. J. E. Sgimpr, E. W. Rice. ARS J., 1960, 6.
4. В. Б. Либрович, Г. М. Махвиладзе.— В сб.: Горение и взрыв. М., «Наука», 1972.
5. А. Г. Истратов, В. Б. Либрович, Г. М. Махвиладзе. ФГВ, 1973, 9, 6.
6. П. Л. Капица. ЖЭТФ, 1948, 18.
7. П. Л. Капица, С. П. Капица. ЖЭТФ, 1949, 19, 105.
8. J. R. L. Allēn. Geografiska Annaler, 1969, 51A, 1—2.

#### ОПРЕДЕЛЕНИЕ ПОКАЗАТЕЛЯ СТЕПЕНИ В ПОТЕНЦИАЛЕ С ПОМОЩЬЮ ДАННЫХ ПО УДАРНОЙ СЖИМАЕМОСТИ

A. A. Долгов, M. Ю. Мессинев

(Москва)

Наиболее распространенной формой записи закона сжимаемости твердого тела является уравнение Тэта, которое в безразмерной форме имеет вид

$$\pi = 1/n [(x_0/x)^n - 1], \quad (1)$$

где  $\pi = p/A$ ;  $x = V/V_{00}$ ;  $x_0 = V_0/V_{00}$ ;  $p$  — давление;  $V$  и  $V_0$  — текущий и начальный (при  $p=0$ ) объемы;  $V_{00}$  — объем вещества в том исходном состоянии, для которого имеются экспериментальные данные по сжимаемости (как правило, для  $20^\circ\text{C}$ );  $A$  и  $n$  — коэффициенты. В гидродинамических расчетах выражение (1) оказывается удобным для описания изэнтропических течений, поскольку инвариантны Римана при этом принимают особенно простой вид [1, 2].

Для определения коэффициента  $n$  в (1) используются экспериментальные данные по статическому или динамическому сжатию при заданных структуре уравнения состояния и зависимости коэффициента Грюнайзена от объема [2, 3]. Обычно  $n$  считается константой. Значения  $n$  для ряда веществ приведены в [4]. В [5] для алюминия показано, что  $n$  есть функция давления на ударной адиабате.

В данной работе рассматривается случай, когда уравнение (1) описывает семейство изэнтроп. При этом можно получить соотношение, связывающее энергию  $E$ , давление и объем, исключив начальный объем  $x_0$ , зависящий от энтропии из (1) и интеграла

$$\varepsilon = \varepsilon_0 + \int_x^{x_0} \pi dx,$$

где  $\varepsilon = E/AV_{00}$ . Принимая, что зависимость энергии от объема при  $p=0$  линейна, т. е.  $\varepsilon_0 = \varepsilon_{00} + 1/\Gamma_0(x_0 - 1)$ , получим

$$\varepsilon = \varepsilon_{00} - 1/\Gamma_0 + x/(n-1) \{1 + \pi + [(n-1)/\Gamma_0 - 1](n\pi + 1)^{1/n}\}, \quad (2)$$

где  $\Gamma_0$  — коэффициент Грюнайзена вещества в исходном состоянии. При постоянном  $n$  (2) представляет собой уравнение типа Райса — Уолша [6].

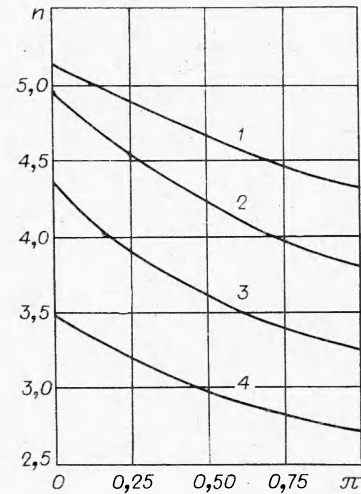
Соотношение Гюгонио  $\varepsilon = \varepsilon_{00} + \pi/2(1-x)$  вместе с (2) определяет уравнение ударной адиабаты

$$x_H(\pi) = \frac{(n-1) \left( \frac{\pi}{2} + \frac{1}{\Gamma_0} \right)}{1 + (n+1) \frac{\pi}{2} + \left( \frac{n-1}{\Gamma_0} - 1 \right) (n\pi + 1)^{1/n}}. \quad (3)$$

В том случае, когда известны экспериментальные значения  $x_H(\pi)$ , (3) становится уравнением для определения величины  $n$ . Например, для многих веществ волновая  $D$  и массовая  $u$  скорости связаны эмпирическим соотношением  $D = C + Su$ , которое определяет экспериментальную кривую Гюгонио (здесь  $C$ ,  $S$  — коэффициенты). Принимая  $A = C^2/V_{00}$ , имеем

$$x_H(\pi) = (S-1)/S + (\sqrt{1+4\pi S} - 1)/2S^2\pi.$$

Зависимости  $n(\pi)$  для ряда веществ представлены на рисунке (1 — плексиглас, 2 — медь, 3 — алюминий, 4 — бериллий), использованные в расчетах данные, заимствованные в [7], сведены в таблицу. Коэффициент Грюнайзена слабо влияет на величину  $n$ . Например,  $\Delta\Gamma_0/\Gamma_0 \approx 20\%$  при  $\pi=1$  соответствует  $\Delta n/n \leq 2\%$ . Как видно из графика, показатель



Вещество	$C$ , км/с	$S$	$V_0$ , см <sup>3</sup> /г	$A$ , кбар	$\Gamma_0$
Плексиглас	2,572	1,536	0,8439	78	0,97
Медь	3,94	1,489	0,1120	1390	1,99
Алюминий	5,328	1,338	0,3591	791	2,00
Бериллий	7,998	1,124	0,5405	1180	1,16

$n$  падает с давлением на ударной адиабате от значения  $4S-1$  до  $2S-1$  при  $\pi \rightarrow \infty$ .

Потенциалом (1), по-видимому, можно пользоваться для описания изэнтропических течений в широком диапазоне давлений. Так, по имеющимся экспериментальным данным для случая сжатия воды ударными волнами ( $0 < \pi < 20$ ) вычислены показатель  $n(\pi)$ , который изменялся от 7,3 до 2,6 и скорость звука в ударно-сжатой воде, которая отличалась от данных [6] в диапазоне до 200 кбар не более чем на 5%. Изложенный подход может быть применен к исследованию отличных от (1) потенциалов.

Авторы признательны Г. А. Ададурову и Э. И. Андрианкину за обсуждение результатов и полезные замечания.

Поступила в редакцию  
3/V 1977,  
после доработки — 24/VI 1977

#### ЛИТЕРАТУРА

- Я. Б. Зельдович, Ю. П. Райзер. Физика ударных волн и высокотемпературных гидродинамических явлений. М., «Наука», 1966.
- Ф. А. Баум, Л. П. Орленко и др. Физика взрыва. М., «Наука», 1975.
- В. Н. Жарков, В. А. Калинин. Уравнения состояния твердых тел при высоких давлениях и температурах. М., «Наука», 1968.
- В. П. Челышев, Б. И. Шехтер, Л. А. Шушко. ФГВ, 1970, **6**, 2.
- R. C. Cho, F. E. Allison. J. Appl. Phys., 1970, **37**, 853.
- M. H. Rice, J. M. Walsh. J. Chem. Phys., 1957, **26**, 824.
- High-Velocity Impact Phenomena. New York — London, Academic Press, 1970.

#### ДИНАМИЧЕСКИЙ ПЬЕЗОМОДУЛЬ КЕРАМИКИ ЦТС-19

*Н. П. Хохлов, В. Н. Минеев, А. Г. Иванов,  
В. И. Лучинин*

(Москва)

Пьезокерамика на основе цирконата-титаната свинца (ЦТС) широко используется в экспериментах с ударными трубами в качестве чувствительного элемента датчиков давления [1—4]. В этих экспериментах реализуются давления до 10 МПа с характерными временами воздействия давления до 100 мкс. Единого метода тарировки таких датчиков давления нет. В работе [2] использовалась статическая тарировка, в [4] пьезодатчик тарировался по среднему уровню давления в продуктах детонации. В [1] пьезомодуль керамики  $d_{33}$  определялся путем сопоставления амплитуды электрического